

Рис. 3. Сравнение вязкости тяжелой воды на линии насыщения по данным различных авторов:

$\eta_{\text{нр}}$  — данные настоящей работы;  $\eta$  — данные работы [2].

0,2—0,3%. Число Рейнольдса не превышало 400. Полученные экспериментальные данные были обработаны графически, при этом отклонения экспериментальных точек от соединяющих их наивероятной кривой составляли 0,2%.

Из рис. 1 следует, что вблизи температуры замерзания изотермы вязкости так же, как и для обычной

## Радиационный захват быстрых нейтронов изотопами $\text{Cl}^{37}$ , $\text{Rb}^{87}$ , $\text{Ir}^{193}$

А. Г. ДОВБЕНКО, В. Е. КОЛЕСОВ, В. П. КОРОЛЕВА, В. А. ТОЛСТИКОВ

В настоящей работе относительным активационным методом измерены сечения радиационного захвата нейтронов с энергией 0,15—1,4 МэВ изотопами  $\text{Cl}^{37}$  и  $\text{Rb}^{87}$ . В диапазоне 0,15—3,2 МэВ измерены сечения радиационного захвата  $\text{Ir}^{193}$ .

Метод измерений описан в работах [1, 2]. Для определения из экспериментальных данных сечений радиационного захвата были использованы следующие опорные сечения: сечение захвата тепловых нейтронов

воды, имеют аномальный характер: с увеличением давления вязкость уменьшается, проходит через минимум, а затем увеличивается. Минимум вязкости на изотермах с увеличением температуры уменьшается по абсолютной величине, смещаясь в сторону низких давлений. При температуре 35—40° С эта аномалия исчезает, изотермы вязкости имеют обычный для жидкости ход: с увеличением давления вязкость тяжелой воды увеличивается. Аномальный характер изменения вязкости тяжелой воды в зависимости от давления исследован и обнаружен впервые. Для наглядности на рис. 2 представлены изобары 1; 600 и 1200 кГ/см<sup>2</sup>.

Погрешность экспериментальных данных составляет  $\pm 0,5\%$ . Полученные нами результаты экспериментов были сравнены с единственными опубликованными данными на линии насыщения [2]. Результаты сравнения приведены на рис. 3. Видно, что расхождение между этими данными колеблется в интервале  $\pm 2,0\%$ , что находится в пределах ошибок измерений.

Поступило в Редакцию 16/XII 1966 г.

## ЛИТЕРАТУРА

1. Тяжелая вода. Под ред. В. А. Кириллина. М., «Энергия», 1965.
2. Д. Л. Тимрот, К. Ф. Шуйская. «Атомная энергия», 7, 459 (1959).
3. И. Ф. Голубев, Н. А. Агаев. Вязкость прядильных углеводородов. Баку, Изд. Азернешп, 1964.

УДК 539.172.4

в  $\text{Cl}^{37}$  с образованием активности с периодом полураспада  $T_{1/2} = 37,5$  мин, равное  $0,56 \pm 0,12$  барн [3]; сечение захвата тепловых нейтронов в  $\text{Rb}^{87}$  ( $T_{1/2} = 17,8$  мин)  $0,12 \pm 0,03$  барн [3]; сечение захвата тепловых нейтронов в  $\text{Ir}^{193}$  ( $T_{1/2} = 19,7$  ч)  $130 \pm 30$  барн [3]; сечение деления  $\text{U}^{235}$  тепловыми нейтронами  $577,1 \pm 0,9$  барн [4]. Сечения деления  $\text{U}^{235}$  быстрыми нейтронами были взяты из работы [5].

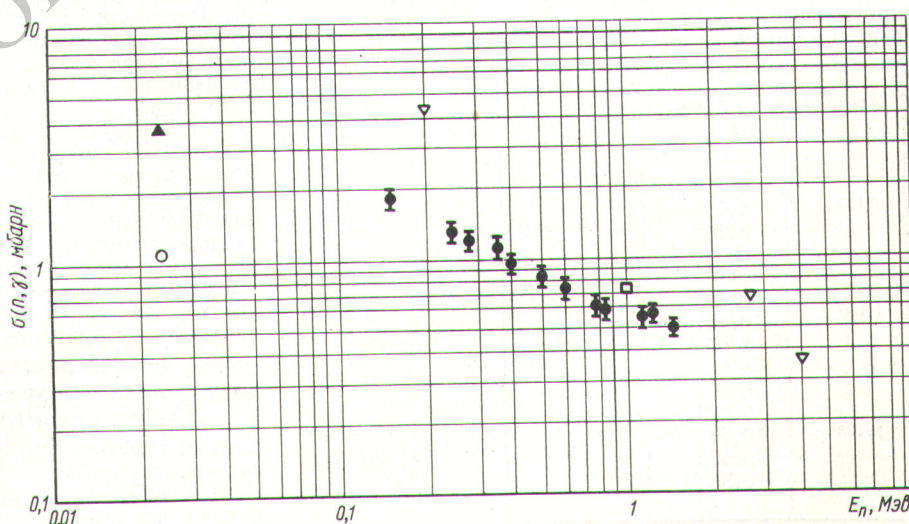
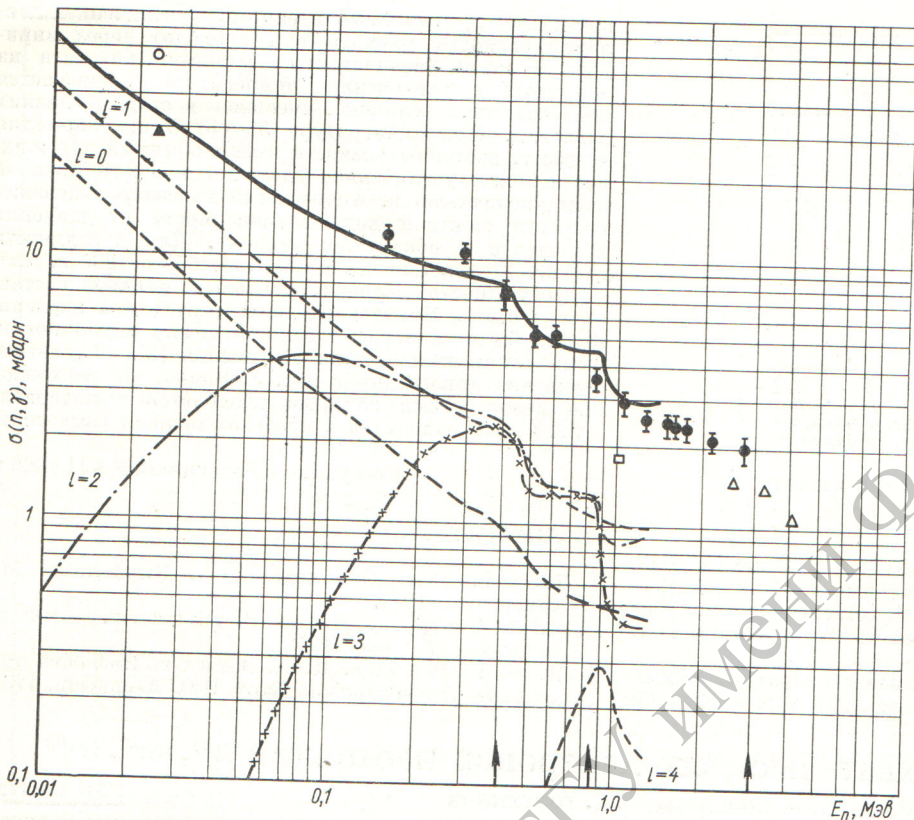


Рис. 1. Результаты измерений сечений радиационного захвата нейтронов  $\text{Cl}^{37}$  в сравнении с результатами других работ.

Данные работ: ● — настоящий; ▲ — [6]; ○ — [7]; □ — [8]; ▽ — [9].



Результаты измерений приведены на рис. 1—3 в сравнении с данными других авторов и расчетами по статистической теории ядерных реакций. Метод расчета описан в работах [2, 11]. Указанные на рисунках ошибки включают в себя ошибки эксперимента и погрешности в сечениях деления  $U^{235}$  нейtronами соответствующих энергий. Были приняты следующие па-

Схемы уровней ядер-мишеней, принятые для расчетов радиационного захвата

Элемент	$E, \text{MeV}$	$j$
$\text{Cl}^{37}$	0	$3/2^+$
	1,725	$1/2^+$
	3,105	$7/2^-$
$\text{Rb}^{87}$	0	$3/2^-$
	0,403	$5/2^-$
	0,847	—
	2,97	$(7/2^+)$
$\text{Ir}^{193}$	0	$3/2^+$
	0,0731	$1/2^+$
	0,0802	$11/2^+$
	0,139	$5/2^+$
	0,362	$7/2^+$

Рис. 2. Результаты измерений сечений радиационного захвата нейтронов  $\text{Rb}^{87}$  в сравнении с результатами других работ и расчетом.

Данные работ: ● — настоящей; ▲ — [6]; ○ — [7]; □ — [8]; △ — [10].

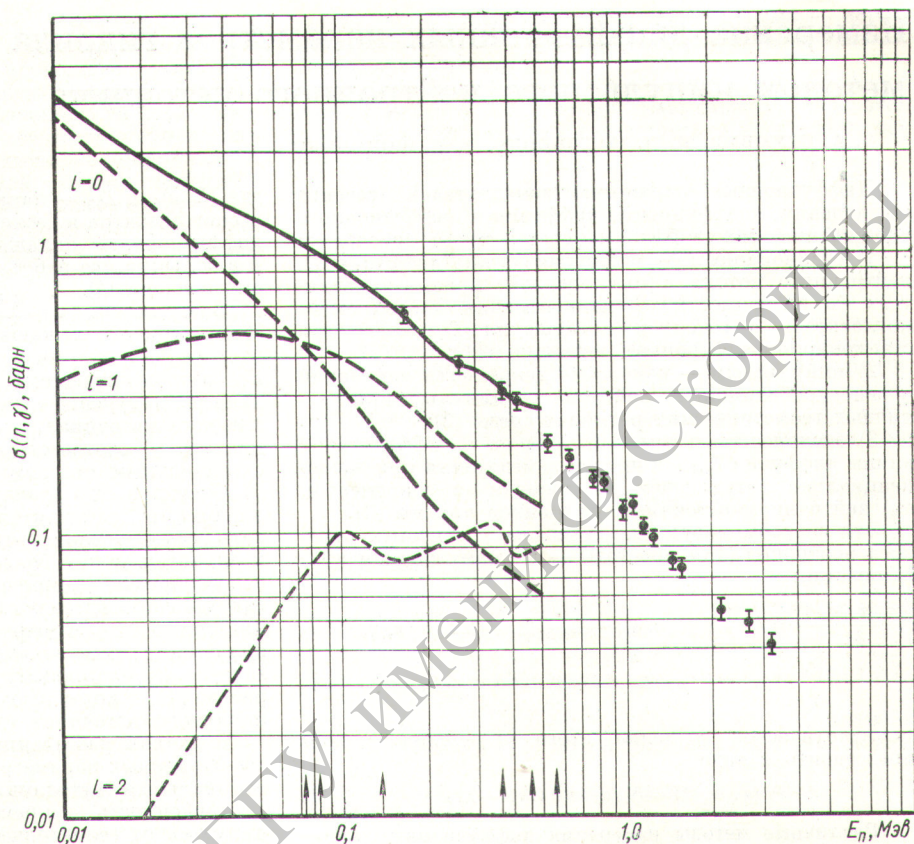
метры ядерного потенциала:  $V_0 = 45 \text{ MeV}$ ;  $d = 0,5 \cdot 10^{-13} \text{ см}$ ;  $\xi = 0,1$ ;  $\kappa = 0,35 \cdot 10^{-26} \text{ см}^2$ . Радиус ядра  $R$  был взят равным  $4,46 \cdot 10^{-13} \text{ см}$  для  $\text{Cl}^{37}$ ,  $5,95 \cdot 10^{-13} \text{ см}$  для  $\text{Rb}^{87}$  и  $7,19 \cdot 10^{-13} \text{ см}$  для  $\text{Ir}^{193}$ . В расчетах использовались следующие значения параметров составных ядер: энергия связи нейтрона в промежуточном ядре  $B_n$  для  $\text{Cl}^{38}$  равна  $6,12 \text{ MeV}$  [3], для  $\text{Rb}^{88}$   $6,2 \text{ MeV}$  [3], для  $\text{Ir}^{193}$   $6,13 \text{ MeV}$  [3]; параметр  $a$  в формуле плотности уровней для  $\text{Cl}^{38}$   $6,11 \text{ MeV}^{-1}$ , для  $\text{Rb}^{88}$   $9,4 \text{ MeV}^{-1}$ , для  $\text{Ir}^{194}$   $20,8 \text{ MeV}^{-1}$ . Необходимые для расчетов значения энергий, спинов и четностей возбужденных уровней ядер мишени, взятые для  $\text{Cl}^{37}$  и  $\text{Rb}^{87}$  из работы [12] и для  $\text{Ir}^{193}$  из работы [13], приведены в таблице.

Из-за отсутствия сведений о характеристиках возбужденных уровней ядра-мишени расчет для  $\text{Ir}^{193}$  был проведен только до энергии нейтронов  $0,5 \text{ MeV}$ . Значения спина и четности уровня с энергией  $0,847 \text{ MeV}$  для  $\text{Rb}^{87}$  также неизвестны. В процессе расчета указанные величины варьировались. Приведенная на рис. 2 расчетная кривая получена для спина и четности уровня с энергией  $0,847 \text{ MeV}$ , равного  $7/2^-$ . Наиболее хорошее согласие результатов расчета с экспериментальными данными получено при следующих значениях средней радиационной ширины  $\bar{\Gamma}_\gamma$  и среднего расстояния между уровнями  $\bar{D}$ : для  $\text{Rb}^{87}$   $\bar{\Gamma}_\gamma = 0,23 \text{ эв}$  и  $\bar{D} = 4 \cdot 10^3 \text{ эв}$ , для  $\text{Ir}^{193}$   $\bar{\Gamma}_\gamma = 0,085 \text{ эв}$  и  $\bar{D} = 10,5 \text{ эв}$ . Следует отметить, что параметры  $a$  и  $\bar{D}$  при этом самосогласованы [14].

Для нейтронов с энергией  $E_n > 1 \text{ MeV}$  расчетная кривая для  $\text{Rb}^{87}$  идет значительно выше эксперимен-

Рис. 3. Результаты измерений сечений радиационного захвата нейтронов  $\text{I}^{193}$  в сравнении с расчетом:

● — данные настоящей работы.



тальных данных. Возможно, это связано с существенной ролью в этой области энергий механизма уменьшения полной радиационной ширины за счет испускания нейтрона, когда энергия возбуждения при многократных переходах остается выше энергии связи [15]. Этот процесс при расчете не учитывался.

Для  $\text{Cl}^{37}$  с параметрами, взятыми из работы [3] ( $\bar{\Gamma}_\gamma = 0,48 \text{ эв}$  и  $\bar{D} = 5 \cdot 10^4 \text{ эв}$ ), соглашение с экспериментом было достигнуто только до  $E_n \approx 0,3 \text{ МэВ}$ . Затем расчетная кривая также идет существенно выше данных эксперимента, как и в случае  $\text{Rb}^{87}$ . Последнее может быть связано с наличием необнаруженных возбужденных уровней у  $\text{Cl}^{37}$  или с уменьшением радиационной ширины, как было отмечено выше.

Авторы благодарят А. И. Абрамова, А. В. Малышева и Ю. Я. Стависского за ценные обсуждения.

Поступило в Редакцию 7/I 1967 г.

## ЛИТЕРАТУРА

1. Ю. Я. Стависский, В. А. Толстиков. В кн. «Ядерные реакции при малых и средних энергиях». Труды Второй всесоюзной конференции (июль, 1960 г.). М., Изд-во АН СССР, 1962, стр. 562.
2. В. А. Толстиков и др. «Атомная энергия», 21, 45 (1966).
3. И. В. Гордеев, Д. А. Кардашев, А. В. Малышев. Ядерно-физические константы. М., Госатомиздат, 1963.
4. Neutron Cross Sections, BNL-325, Second Edition, Supplement No. 2, vol. III, Z-88 to 98, February 1965.
5. K. Parker. A.W.R. EO-82/63, December 1963.
6. В. Н. Кононов, Ю. Я. Стависский, В. А. Толстиков. «Атомная энергия», 5, 564 (1958).
7. R. Macklin et al. Phys. Rev., 107, 504 (1957).
8. D. Hughes et al. Phys. Rev., 91, 1423 (1953).
9. А. И. Лейпунский и др. В кн. «Труды Второй международной конференции по мирному использованию атомной энергии (Женева, 1958)». Докл. советских ученых. Т. 1, М., Атомиздат, 1959, стр. 136.
10. Ю. В. Гофман. Приложение к «Укр. фіз. ж.», III, № 1, 14 (1958).
11. В. А. Толстиков и др. «Атомная энергия», 17, 505 (1964).
12. Б. С. Джалепов, Л. К. Пекер. Схемы распада радиоактивных ядер. А < 100, М.—Л., 1966.
13. Б. С. Джалепов, Л. К. Пекер, В. О. Сергеев. Схемы распада радиоактивных ядер. А ≥ 100. М.—Л., 1963.
14. А. В. Малышев. ЖЭТФ, 45, 311 (1963).
15. С. М. Захаров, А. В. Малышев. Proceedings of the International Conference on the Study of Nuclear Structure with Neutrons. Antwerpen, July 19—23, 1965, p. 236.